

II-218 流れ込み式発電所導水路内の水の挙動

広島大学工学部 正員 細田 尚
広島大学工学部 正員 余越正一郎

1. はじめに； 本研究は流れ込み式発電所導水路内が空の状態のときに、スルース・ゲートにより導水を始めることによつて生ずる水理現象について検討したものである。dry bed 上を先端が伝播するとともに、ゲート下流に跳水が形成されて行く過程を数値解析により再現し、先端部の伝播速度について検討した。

2. 観測諸量； 対象発電所は斐伊川水系三刀屋川中流部に建設された中国電力三刀屋川発電所であり、水路トンネルの延長 6,912 m、水路床こう配 1/1,500 の 3 R 馬蹄形断面(内径 2.5 m)水路である。(Manning の粗度係数 $n = 0.0103$) 観測諸量を表-1 に、概念図を図-1 に示した。観測諸量よりスルース・ゲートの流量係数 $C (Q = C a B / 2g H_0)$ を求め図-2 に示した。(B=2.178 mとした。) 図-2 より、どの資料も従来の研究より H_0/a がかなり大きい値となっている。また、4月17日の流れはもう少し流出になっていたと考えられる。

表-1 観測諸量

項目	4/6 3/5 (第1回)	3/6 (第2回)	3/8	4/1	4/3	4/6	4/17
ゲート開度 (cm)	6	10	15	15.5	10	10	15
トネル水深 (cm)	35	44	56	54	40	41	56
流入量 (m³/s)	0.67	1.01	1.53	1.44	0.85	0.89	1.53
到達時間 (min)	101	87	77	77	93	87	81
取水位 (m)	/	169.540	/	/	/	169.480	169.470

※1 取水口ゲートより下流 250 m 沿岸のトンネル水深

※2 トネル水深から算定 ($\alpha = 0.0103$)

※3 取水口からヘッドタンクまでのトンネル延長約 6912 m の到達時間

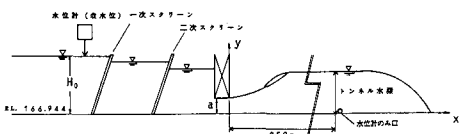


図-1 概念図

3. 水の伝播過程に関する数値解析；

水路は馬蹄形断面であるが、水の挙動の定性的特性を検討するため、広長方形断面として解析を行う。座標系は図-1 を参照して次のような基礎式を用いる。

$$\frac{\partial h}{\partial t} + \frac{\partial g}{\partial x} = 0 \quad (1) \quad \frac{\partial g}{\partial t} + \beta \frac{\partial}{\partial x}(ug) + \frac{g \cdot \cos \theta}{2} \frac{\partial h^2}{\partial x} = gh \left(\sin \theta - \frac{uh/n^2}{h^{3/2}} \right) + \frac{\partial}{\partial x} \left(\int_0^h u^2 dy \right) \quad (2)$$

ここに、 h ；水深、 g ；単位幅流量、 u ；水深平均流速、 \bar{u}^2 ；流れ方向の乱れ強さ。 $\cos \theta \approx 1.0$ 、 $\beta = 1.0$ とおく。ここで $\int_0^h u^2 dy = D_m h \frac{\partial u}{\partial x}$ と仮定し、 $D_m = \alpha n \sqrt{g} |g| h^{-1/6}$ とおく。 $(\alpha$ ；定数) 解析法は岩佐・井上等の泥濁水の解析法に従った。図-3 の変数の配置を用いて次のような離散化を用いた。ただし、 $t = (n+1) \Delta t$ での u_i^{n+1} は $u_i^{n+1} = g_i^{n+1} / h_{i-1/2+a}^{n+1/2}$ (g_i^{n+1} の正負に応じて $a=0, 1$) として求めた。

$$\frac{h_{i+1/2}^{n+1} - h_{i-1/2}^{n+1/2}}{\Delta t} + \frac{g_{i+1}^{n+1} - g_i^{n+1}}{\Delta x} = 0 \quad (3)$$

$$\frac{g_i^{n+1} - g_i^n}{\Delta t} + \left(\frac{u_i^n + u_{i+a}^n}{2} g_{i+a}^n - \frac{u_i^n + u_{i+b}^n}{2} g_{i-a+b}^n \right) / \Delta x + \frac{g}{2} \frac{(h_{i+1/2}^{n+1})^2 - (h_{i-1/2}^{n+1})^2}{\Delta x} \\ = g \frac{h_{i+1/2}^{n+1} + h_{i-1/2}^{n+1/2}}{2} \left\{ \sin \theta - n^2 u_i^n |u_i^n| / \left(\frac{h_{i+1/2}^{n+1} + h_{i-1/2}^{n+1/2}}{2} \right)^{4/3} \right\} + \left\{ \frac{h_{i+1/2}^{n+1} D_m h_{i+1/2}^{n+1/2} (u_{i+1}^{n+1} - u_i^n)}{\Delta x} - \frac{h_{i-1/2}^{n+1} D_m h_{i-1/2}^{n+1/2} (u_i^{n+1} - u_{i-1}^n)}{\Delta x} \right\} / \Delta x \quad (4)$$

a 、 b は上流差分のパラメータ。先端部では連続式より決まる $t = (n+1/2) \Delta t$ の先端位置を $i = N$ とすれば、 $t = (n+1) \Delta t$ の g_{N-1}^{n+1} を次式で定めた。

$$\begin{aligned} & \frac{q_{N-1}^{n+1} - q_{N-1}^n}{\Delta t} + \left(u_{N-1}^n q_{N-1}^n - \frac{u_{N-1}^n + u_{N-2}^n}{2} q_{N-2}^n \right) / \Delta x + \frac{g}{2} \frac{(h_{N-12}^{n+1})^2 - (h_{N-32}^{n+1})^2}{\Delta x} \\ & = g \frac{h_{N-12}^{n+1} + h_{N-32}^{n+1}}{2} \left[\sin \theta - n^2 u_{N-1}^n / u_{N-1}^n \left| \frac{\frac{h_{N-12}^{n+1} + h_{N-32}^{n+1}}{2}}{\left(\frac{h_{N-12}^{n+1} + h_{N-32}^{n+1}}{2} \right)^{4/3}} \right| \right] - \frac{h_{N-32}^{n+1} D_{m,N-32} (u_{N-1}^n - u_{N-2}^n)}{\Delta x^2} \end{aligned} \quad (5)$$

次に、 $q_N^{n+1} = q_{N-1}^{n+1}$ として q_N^{n+1} を定めた。 $\Delta x = 1m$ 、 $\Delta t = 0.03 sec$ とした。計

算の水理諸量を表-2に示す。ゲート開度を3/5, 3/6(第1, 2回)に等しくし、それぞれの等流水深にはほぼ等しくなるように単位幅流量を定めている。Run-1での水面形の時間発展過程を図-4に示した。跳水が形成されながら先端が伝播していくことがわかる。 α による違いをみるとために、Run 1, 2 の水面形を比較したのが図-5である。両者はほとんど一致している。 $\alpha = 0$ では限界水深をまたぐ連続な解は存在しないはずである。よって、数値粘性が D_m ようかなり大きいと考えられ、離散化の方法、 Δx を変えた検討が必要である。図-6に水面形方程式(6)式の解とスルース・ゲート下流の定常とみなせる領域での計算結果を比較し

た。両者はほとんど一致し、また、数値解は等流水深 h_0 に対する共役水深 h_c を越えると急激に増加し、等流水深に接続している。

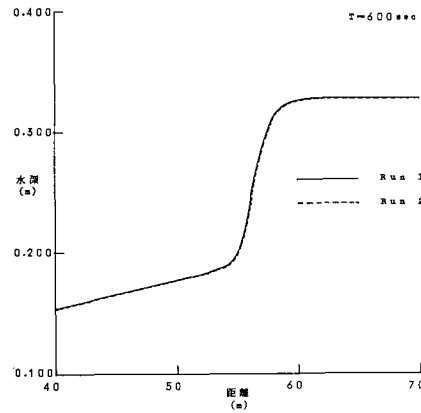
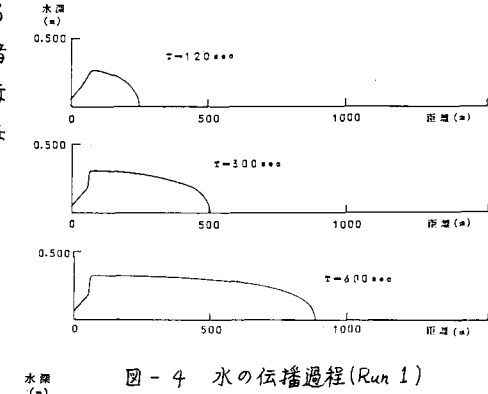
図-5 α の影響

図-4 水の伝播過程(Run 1)

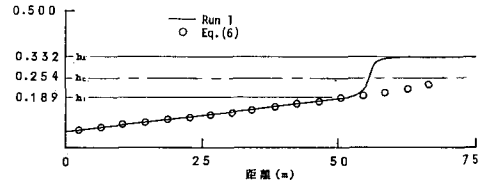


図-6 水面形方程式との比較

$$\frac{dh}{dx} = \frac{\sin \theta - \frac{n^2 g^2}{h^2}}{\cos \theta - \frac{g^2}{gh^3}} \quad (6)$$

図-7にはRun 1での先端の軌跡を示した。時間の経過とともに、距離と時間の関係は線型になつて行く。線型の領域での軌跡のこう配を先端の伝播速度 V とし、Run 1, 3, 4⁷の V と $\sqrt{gh_0}$ (h_0 :等流水深) の関係を図-8に示した。図には水路延長を到達時間で除した観測値、広長方形断面の等流水流速(7)式、馬蹄形断面の等流水流速(7)式も示してある。計算値はほぼ(7)式と適合している。観測値は馬蹄形断面の等流水流速(8)式より大きいが増加の傾向は類似している。計算値は先端の軌跡のこう配より求めた伝播速度を用いているのに対し、観測値は延長距離を到達時間で除したため伝播速度の違い流入初期の影響によって(8)式より大きい観測値となつてゐると思われる。

4. おわりに； 今後、跳水部での解析の妥当性を検討するとともに、離散化の方法、 Δx を変化させた検討を加えたい。

参考文献；(1)岩佐・井上・水鳥；東大防

災年報第23号B2, 1980

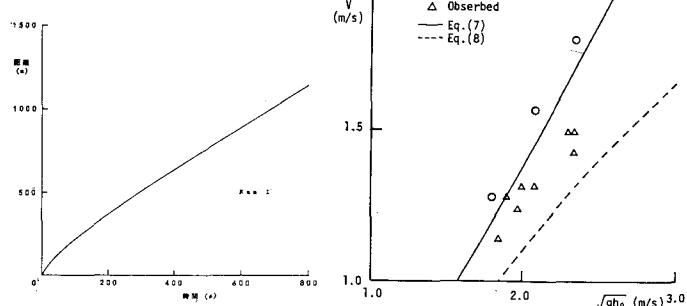


図-7 先端の軌跡

図-8 先端の伝播速度